

ПРЯМОЙ МЕТОД ИЗМЕРЕНИЯ ИОННОЙ ТЕМПЕРАТУРЫ
ТЕРМОЯДЕРНОЙ ЛАЗЕРНОЙ ПЛАЗМЫ

Ф. А. Николаев, В. В. Сорокин, О. И. Стуков

УДК 539.1.074.4

На основе измерений и анализа формы импульса тока быстрого спонтанного детектора, регистрирующего нейтроны из термоядерной лазерной плазмы, определяется ее ионная температура.

По измеренному спектру нейтронов из термоядерной лазерной плазмы, как известно /1 - 3/, можно определить ее ионную температуру. Для этого необходимы /3/ прецизионные измерения с энергетическим разрешением до десятых долей процента, которое сравнительно нетрудно получить при выходе более 10^8 нейтронов за вспышку. Для меньших выходов конструкция спектрометров становится сложной, громоздкой и менее надежной из-за использования большого количества регистрирующих элементов, необходимых для повышения светосилы спектрометра.

В данной работе рассматривается простой метод измерения ионной температуры плазмы, основанный на том, что нейтронная вспышка имеет длительность $\sim 0,1$ нс и известны энергетические линии нейтронов. Так как с ростом температуры плазмы Θ происходит уширение энергетических линий

$$\text{для } dd\text{-нейтронов } \Delta E = \sqrt{3Q_d \Theta \ln 2}, \quad (1)$$

$$\text{для } dt\text{-нейтронов } \Delta E = (8/5)\sqrt{Q_T \Theta \ln 2}, \quad (2)$$

где Q_d , Q_T - энергии, выделяемые в dd - и dt -реакциях соответственно, то и с детектора нейтронов будет наблюдаться уширение импульса тока во времени. Поэтому можно непосредственно измерять температуру. Однако в реальном случае из-за конечных раз-

меров детектора и неопределенности места взаимодействия нейтрона в детекторе наблюдается дополнительное уширение импульса тока. В случае малых выходов нейтронов $< 10^8$, когда используется светосильный (с большим чувствительным объемом) детектор, эта неопределенность вносит наибольший вклад в уширение импульса, и измерение температуры плазмы становится невозможным.

Нами рассмотрена такая геометрия регистрации нейтронов и чувствительного объема спиритилляционного детектора, при которой вклад в уширение импульса за счет неопределенности места взаимодействия нейтронов в чувствительном объеме детектораведен к минимуму. Эта геометрия показана на рис. I для идеальных условий, когда нейтроны направлены параллельным пучком на спиритиллятор, установленный к направлению их движения под углом $\alpha = \arccos(v_n/v_c)$, где v_n — скорость нейтрона, v_c — скорость распространения спиритилляционной вспышки в спиритилляторе. Из этого рисунка видно, что время сбора спиритилляционной вспышки на фотоприемник из точки A, $t_c = AC/v_c$ равно времени пролета нейтрона из точки B в C $t_n = BC/v_n$. Поэтому для мгновенной вспышки нейтронов с известной фиксированной энергией (при $v_n < v_c$) всегда можно подобрать такой угол α , когда спиритилляционные вспышки будут собираться на фотоприемник одновременно, независимо от времени пролета нейтрона.

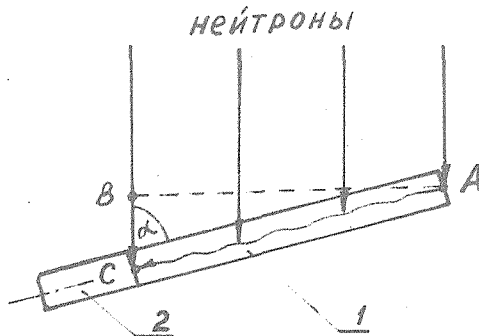


Рис. I. Геометрия регистрации нейтронов и чувствительного объема спиритилляционного детектора: 1 — спиритиллятор; 2 — фотоприемник

висимо от места взаимодействия нейтрона в сцинтилляторе. Таким образом, размеры сцинтиллятора, исключая толщину, можно брать практически неограниченными, если не учитывать потери света при сборе и естественное уширение длительности сцинтилляционной вспышки на фотоприемнике за счет многократных отражений ее на гранях сцинтиллятора.

В реальных условиях эксперимента мы имеем дело с точечным источником, поэтому на детектор будет приходить расходящийся пучок нейтронов. Это приведет к дополнительному уширению импульса тока фотоприемника $\delta t_\alpha = (L/v_n)(1 - 1/\cos \alpha)$, где L — время-пролетная база нейтронов от источника до детектора, $\Delta\alpha$ — отклонение направления нейтронов к поверхности сцинтиллятора от угла α . Этот вклад можно устраниТЬ более сложной геометрией сцинтиллятора, такой, при которой касательная к поверхности будет лежать под углом α к направлению движения нейтрона. Вклад в уширение импульса тока детектора будет давать и толщина сцинтиллятора d : $\delta t_d = d[(1/v_n \sin \alpha) - 1/v_c \tan \alpha]$. Этот вклад можно уменьшить, если сцинтиллятор набрать из тонких пластин, а свет от них собирать на фотоприемник через гибкие световоды разной длины, чтобы скомпенсировать время пролета нейтрона от ближней к источнику пластины до последующих.

Пренебрегая этими вкладами, импульс тока детектора будет сверткой функции временного распределения нейтронов $f(t)$ и функции импульса-отклика детектора $i(t)$ на регистрацию отдельного нейтрона. Для $f(t)$ и $i(t)$, описываемых функциями Гаусса с дисперсиями σ^2 и σ_i^2 соответственно, передний фронт импульса тока детектора также будет описываться гауссианом, с дисперсией $\sigma_f^2 = \sigma^2 + \sigma_i^2$. Поэтому заранее измерив σ_i^2 и найдя σ_f^2 из опыта, можно определить σ^2 , которая однозначно связана с температурой плазмы Θ_d и Θ_T для dd- и dt-нейтронов следующими соотношениями:

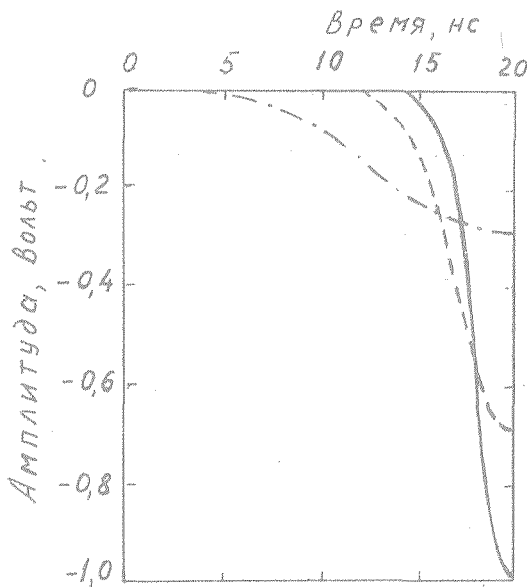
$$\Theta_d \approx 1,76(\sigma/L)^2 \quad \text{и} \quad \Theta_T = 12,74(\sigma/L)^2.$$

Если L выражено в метрах, σ в наносекундах, то температура — в киловольтах. Эти соотношения получены из (1), (2) и формулы для времени пролета нейтронов /5/. Изменение длительностей переднего фронта импульсов тока детектора от темпе-

ратуры плазмы показано на рис. 2. Относительная погрешность температурных измерений равна $\delta\theta/\theta \approx 2 [(\delta\sigma/\sigma)^2 + (\delta L/L)^2]^{1/2}$, где $\delta L/L$ – погрешность измерения времени пролетной базы;

$$\delta\sigma/\sigma = (1/\sigma) \sqrt{(\delta t_a)^2 + (\delta t_c)^2 + (\delta t_d)^2 + (\delta\sigma_I)^2 + (\delta\sigma_{I_1})^2};$$

$\delta t_a = \sigma/\sqrt{N}$ – статистическая погрешность (N – число регистрируемых нейтронов), $\delta\sigma_I$ – погрешность измерения длительности переднего фронта импульса тока детектора в эксперименте, $\delta\sigma_{I_1}$ – погрешность измерения длительности переднего фронта импульса отклика детектора при калибровке.



Р и с. 2. Нормированные по количеству регистрируемых dd-нейтронов расчетные кривые переднего фронта импульса тока детектора (спинтиллятор 20 x 40 x 1000 мм^3 , фотоумножитель ФЭУ-30), расположенного в 10 м от мишени, соответствующие температурам плазмы: 0 кэВ (—), 1 кэВ (---) 10 кэВ (—·—)

Анализ функции $\delta\sigma/\sigma$ показал, что она принимает минимальные значения на время-пролетной базе L при соответствующем подборе размеров сцинтиллятора; так, например, для плоского сцинтиллятора толщиной a , высотой l и шириной b (при $L > a$, l , b) минимум функции $\delta\sigma/\sigma$ обеспечивается при

$$\begin{aligned} b &= 1/[1 + (3/16)(t_c/t_n)^2(L/l)^2]^{1/4}, \\ a &= 0,18(1^2/L)[(1/L)^2 + 0,25(t_c/t_n)^2]/[(1/L)^2 + 0,19(t_c/t_n)^2], \\ &(724\pi L^2/N_0 \epsilon_0)[1 + 0,19(t_c/t_n)^2(L/l)^2]^{7/4} = \\ &= l^4[1 + 0,25(t_c/t_n)^2(L/l)^2]^{6/4}[(\delta\sigma_I)^2 + (\delta\sigma_i)^2]/(\sigma_0)^2, \end{aligned}$$

где σ_0^2 – дисперсия временного распределения нейтронов за счет температурного уширения энергетической линии нейтронов на расстоянии L м от источника, N_0 – число нейтронов из источника за импульс излучения, ϵ_0 – эффективность детектора на единицу толщины сцинтиллятора.

Оценки показывают, что с помощью обычного прямоугольного сцинтилляционного счетчика для ожидаемого выхода $\sim 10^6$ нейтронов можно измерить температуру термоядерной лазерной плазмы с погрешностью не хуже 70%. Точность измерения температуры можно значительно улучшить, если использовать сцинтилляционный счетчик оптимальной геометрии со световодами разной длины, как указывалось выше.

В заключение авторы выражают благодарность Г. В. Склизкову за полезные обсуждения и внимание к работе.

Поступила в редакцию
27 сентября 1982 г.

Л и т е р а т у р а

1. Н. Г. Басов и др., Письма в ЖЭТФ, 15, 589 (1972).
2. Е. Г. Гамалий, Препринт ФИАН СССР № 34, М., 1974 г.
3. Е. Г. Гамалий, С. Ю. Гуськов, Н. М. Соболевский, Труды ФИАН, 95, II (1977).